



特点

- 全扩散工艺
- 平板型陶瓷管封装
- 双面冷却

典型应用

- 大功率变流器
- 焊接设备
- 电机控制和驱动
- 充电设备

| V_{RRM} | 型号 |
|-----------|--------------|
| 1600V | ZP800A 1600V |

| 符号 | 参数 | 测试条件 | 结温 T_j (°C) | 参数值 | | | 单位 |
|---------------|------------|---|------------------|------|----|-------|--------------------------|
| | | | | 最小 | 典型 | 最大 | |
| $I_{F(AV)}$ | 正向平均电流 | 180° 正弦半波, 50Hz 双面散热, $T_c=85^\circ\text{C}$ | 150 | | | 800 | A |
| $I_{T(RMS)}$ | 方均根电流 | | 150 | | | 1256 | A |
| V_{RRM} | 反向重复峰值电压 | $V_{DRM} \& V_{RRM} t_p=10\text{ms}$ | 150 | 1600 | | | V |
| I_{RRM} | 反向重复峰值电流 | $V_{RM}=V_{RRM}$ | 150 | | | 80 | mA |
| I_{FSM} | 正向不重复浪涌电流 | 10ms 底宽, 正弦半波 | 150 | | | 18 | KA |
| I^2t | 浪涌电流平方时间积 | $V_R=0.6V_{RRM}$ | | | | 1620 | $10^3\text{A}^2\text{S}$ |
| V_{TO} | 门槛电压 | | 150 | | | 0.81 | V |
| r_T | 斜率电阻 | | | | | 0.23 | $\text{m}\Omega$ |
| V_{FM} | 通态峰值电压 | $I_{TM}=2400\text{A}, F=9.0\text{KN}$ | 150 | | | 2.2 | V |
| I_{rm} | 反向恢复电流 | $I_{TM}=1800\text{A}, t_q=1000\text{us}$ | 150 | | | 90 | A |
| t_{rr} | 反向恢复时间 | $Di/dt=-20\text{A/us}$ | | | | 4.2 | us |
| Q_{rr} | 恢复电荷 | $V_r=50\text{V}$ | | | | 189 | uC |
| $R_{th(j-h)}$ | 热阻抗(结至散热器) | 180° 正弦波, 双面散热 压紧力 15KN | | | | 0.022 | °C/W |
| F_M | 安装力 | | | 19 | | 26 | KN |
| T_{stq} | 储存温度 | | | -40 | | 200 | °C |
| W_t | 质量 | | | | | | g |
| Outline | 外形 | | | | | | |

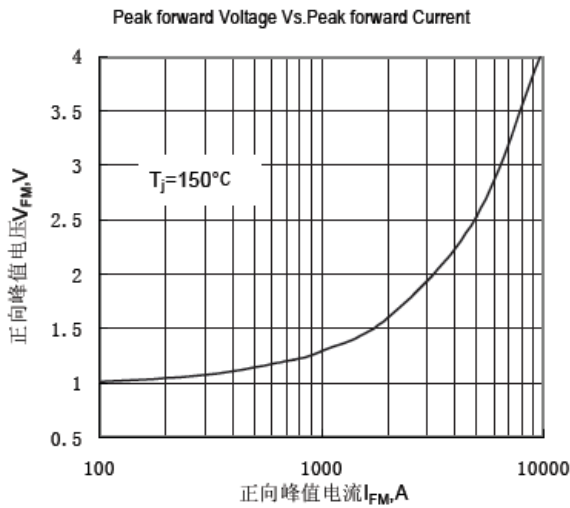


Fig.1 通态伏安特性曲线

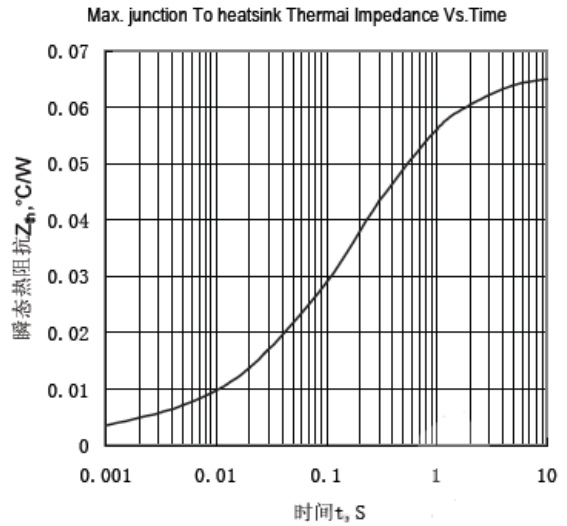


Fig.2 结至散热至瞬态热阻抗曲线

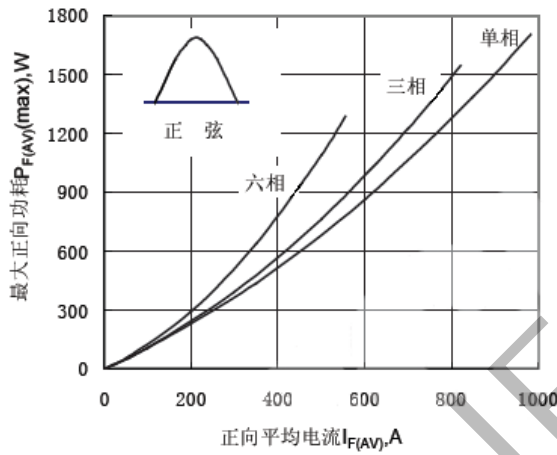


Fig.3 最大功耗与平均电流关系曲线

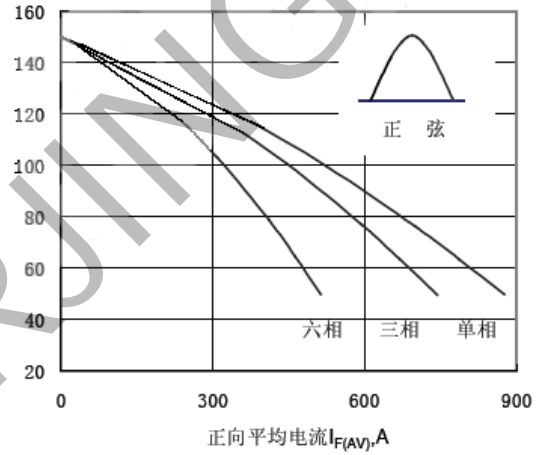


Fig.4 散热至温度与通态平均电流关系曲线

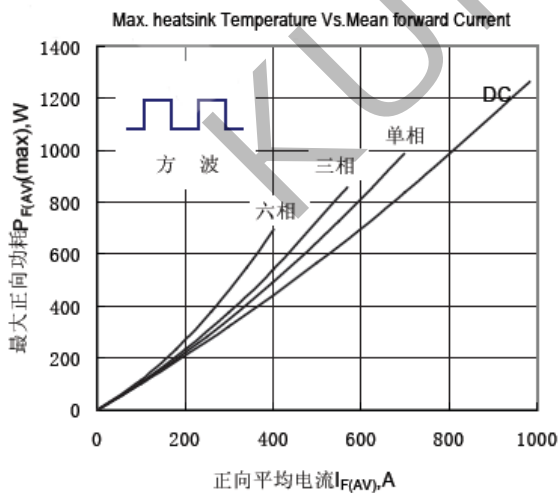


Fig.5 最大功耗与平均电流关系曲线

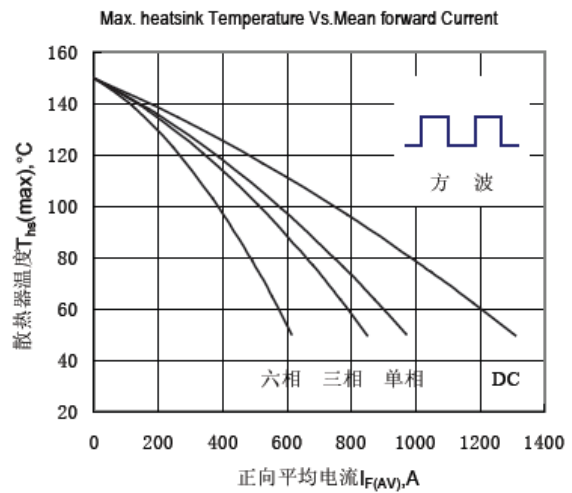


Fig.6 散热至温度与通态平均电流关系曲线

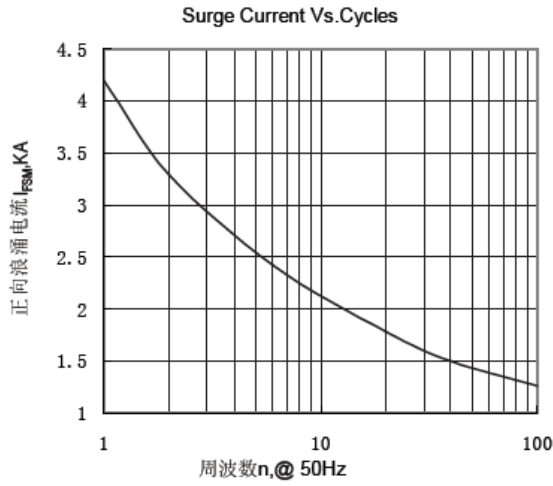


Fig.7 通态浪涌电流与周波数的关系曲线

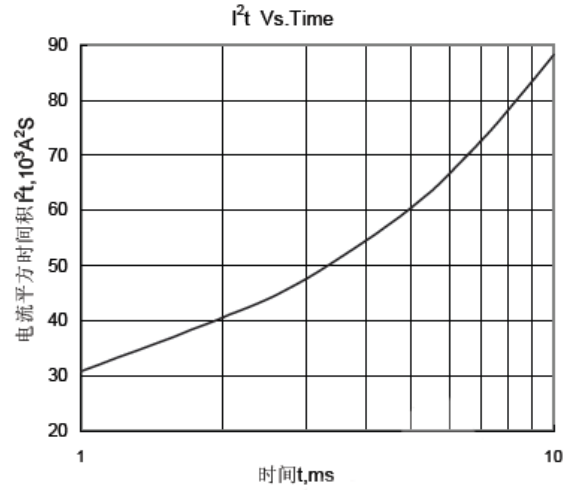


Fig.8 I²t 特性曲线

外形图:

